

ПЕРИОДИЧЕСКИЙ ПОТОК СО СЛУЧАЙНОЙ НЕЗАВИСИМОЙ ДЕЦИМАЦИЕЙ

Ф. В. Голик, Е. А. Порхунов

Новгородский государственный университет им. Ярослава Мудрого

Получена 25 сентября 2008 г

Анализируется поток точек, следующих с постоянным неизвестным периодом, содержащий конечное, но неизвестное число точек, каждая из которых может быть децимирована (потеряна) с неизвестной вероятностью. Предложена процедура преобразования потока, позволяющая обнаружить поток и оценить его параметры – период следования, вероятность децимации, число точек в исходном потоке и координату центра потока. Построены рабочие характеристики обнаружения и найдены характеристики оценок параметров потока. Исследуемый процесс может служить адекватной моделью обнаружения пачки импульсных радиосигналов на фоне некоррелированной помехи, принимаемых пассивным радиолокатором, реализующим критерий обнаружения Неймана-Пирсона при задании предельно низкой (практически нулевой) вероятности ложного обнаружения одиночного сигнала.

Ключевые слова: обнаружение сигналов, обработка сигналов, радиолокация.

Постановка задачи

Формально поток точек может быть представлен вектором

$$\varphi = (t_i), i = \overline{1, N} \quad (1)$$

где t_i - момент возникновения i -й точки, а N – количество точек или размер потока¹.

Положим, что отсчет времени ведется с момента начала наблюдения t_0 . Тогда поток с постоянным периодом T есть вектор

$$\varphi_T = (t_i = i \cdot T + t_0, i = \overline{1, N}). \quad (2)$$

Каждая точка потока φ_T может быть потеряна с вероятностью q и сохранена с вероятностью $p = 1 - q$. Тогда децимированному потоку соответствует вектор

$$\varphi_p = (t_0 + i \cdot T \cdot \xi_i | Ver(\xi_i = 1) = p, Ver(\xi_i = 0) = q, i = \overline{1, N}). \quad (3)$$

По условию задачи децимация точек взаимно независима, т. е.

$$Ver(\xi_i, \xi_j) = p^{\xi_i} q^{1-\xi_i} p^{\xi_j} q^{1-\xi_j}, i, j = \overline{1, N}, i \neq j.$$

¹ Термин наш.

Априори период следования T , размер N потока и вероятность q децимации неизвестны.

Цель настоящей работы состоит в разработке процедуры обнаружения децимированного потока и нахождения оценок его параметров.

Обнаружение периодичности

Периодический поток без потерь

В отличие от общеизвестных методов обнаружения пачки сигналов (потока точек) в настоящей работе предложен подход, основанный на обнаружении периодичности исследуемого процесса. Действительно, если удастся доказать, что наблюдаемый поток периодический, то можно утверждать, что он порожден некоторым источником детерминированного, а не случайного процесса. То есть обнаружение периодичности равносильно обнаружению цели.

Процедуры, предназначенные для выявления периодичности, базируются на общем подходе, заключающемся в таком преобразовании анализируемого процесса, при котором максимально усиливаются периодические составляющие и подавляются аперiodические [1].

Поставим в соответствие каждой точке потока дельта-функцию и представим поток φ_T следующим образом:

$$\varphi_T(t) = \sum_{i=1}^N \delta(t - t_i), \quad (4)$$

Косинус-преобразование Фурье потока (4) равно:

$$co_T(f) = \sum_{i=1}^N \int_{-\infty}^{\infty} \delta(t - t_i) \cos(2\pi ft) dt = \sum_{i=1}^N \cos(2\pi ft_i). \quad (5)$$

Точки потока φ_T появляются в моменты $t_i = i \cdot T + t_0, i = \overline{1, N}$, следовательно [2, 1.341.3]:

$$co_T(f) = \frac{\sin(\pi f TN)}{\sin(\pi f T)} \cos\left(2\pi f \left(t_0 + T \frac{N-1}{2}\right)\right).$$

Совместив начало интервала наблюдения с моментом появления первой точки потока, т. е. приняв $t_0 = 0$ и, тем самым, компенсировав эпоху, получаем:

$$co_T(f) = \frac{\sin(\pi f TN)}{\sin(\pi f T)} \cos(\pi f T (N-1)). \quad (6)$$

Следует подчеркнуть, что компенсация эпохи таким способом возможна далеко не всегда. Действительно, в случае анализа суперпозиции потоков можно компенсировать эпоху только одного потока (если вероятностью появления в момент t_0 точек, принадлежащих двум и более потокам можно пренебречь). В настоящей работе исследуются потоки, для которых эпоха может быть компенсирована указанным способом, т. е. потоки с нулевой эпохой.

Функция (6) принимает максимальные значения, равные N , при $f_k = k/T, k = 0, 1, 2, \dots$. Откуда следует, что найдя точку максимума f_k и его номер k , определим и период потока: $T = f_k/k$. Нетрудно убедиться, что производная функции (6) в точках f_k равна нулю. Следовательно, оценка периода несмещенная.

Таким образом, признаком наличия периодичности является существование глобальных максимумов функции (6) в точках f_k .

Периодический поток с независимой децимацией

Рассмотрим поток с потерей точек.

Выполнив для потока (3) преобразования, аналогичные (4, 5), получаем косинус-преобразование потока:

$$co_p(f) = \sum_{i=0}^{N-1} \xi_i \cdot \cos(2\pi f T \cdot (i-n)) \cdot \zeta(i-n) \quad (7)$$

где n – количество точек, потерянных подряд в начале потока. Множитель $\zeta(i-n) = \begin{cases} 0, & i \leq n \\ i-n, & i > n \end{cases}$ позволяет исключить отклики от точек, потерянных в начале потока.

Функция (7) случайна. Для исследования ее свойства найдем ее математическое ожидание.

Поскольку по определению случайные множители ξ_i взаимно независимы, то случайная величина n распределена по «ограниченному» геометрическому закону:

$$P_n = \begin{cases} (1-p)^n p, & 0 \leq n < N \\ (1-p)^N, & n = N \end{cases} \quad (8)$$

Выполнив необходимые преобразования с учетом (8) получаем, что среднее значение функции $co_p(f)$ равно:

$$\overline{co_p(f)} = \left(1 - \frac{p}{2}\right) + \frac{p^2}{2(1-q^N)} \cdot \left[\frac{\sin(\pi f T (2N-1))}{\sin(\pi f T)} \cdot c(f, T, N) - \frac{\cos(\pi f T (2N-1))}{\sin(\pi f T)} \cdot s(f, T, N) \right] \quad (9)$$

где

$$c(f, T, N) = \frac{q^{N+1} \cos(2\pi f T (N-1)) - q^N \cos(2\pi f T N) - q \cos(2\pi f T) + 1}{q^2 - 2q \cos(2\pi f T) + 1};$$

$$s(f, T, N) = \frac{q^{N+1} \sin(2\pi f T (N-1)) - q^N \sin(2\pi f T N) + q \sin(2\pi f T)}{q^2 - 2q \cos(2\pi f T) + 1}.$$

Полное аналитическое исследование функции (9) затруднено. Однако можно показать, что глобальные максимумы расположены в точках $f_k = k/T, k = 0, 1, 2, \dots$ и оценка периода потока равна $T^* = f_k/k$. Подставив в

(9) $f = 1/T$, убеждаемся, что функция (9) принимает максимальное значение, равное Np . Это в точности соответствует математическому ожиданию распределения Бернулли, модель которого, по существу, и реализуется в потоке с независимой децимацией. Численные расчеты показывают, что производная по f среднего значения косинус-преобразования при $f = 1/T$ равна нулю и не зависит от вероятности p . Следовательно, оценка периода T несмещенная. Точность измерения периода зависит только от шага дискретизации частоты f .

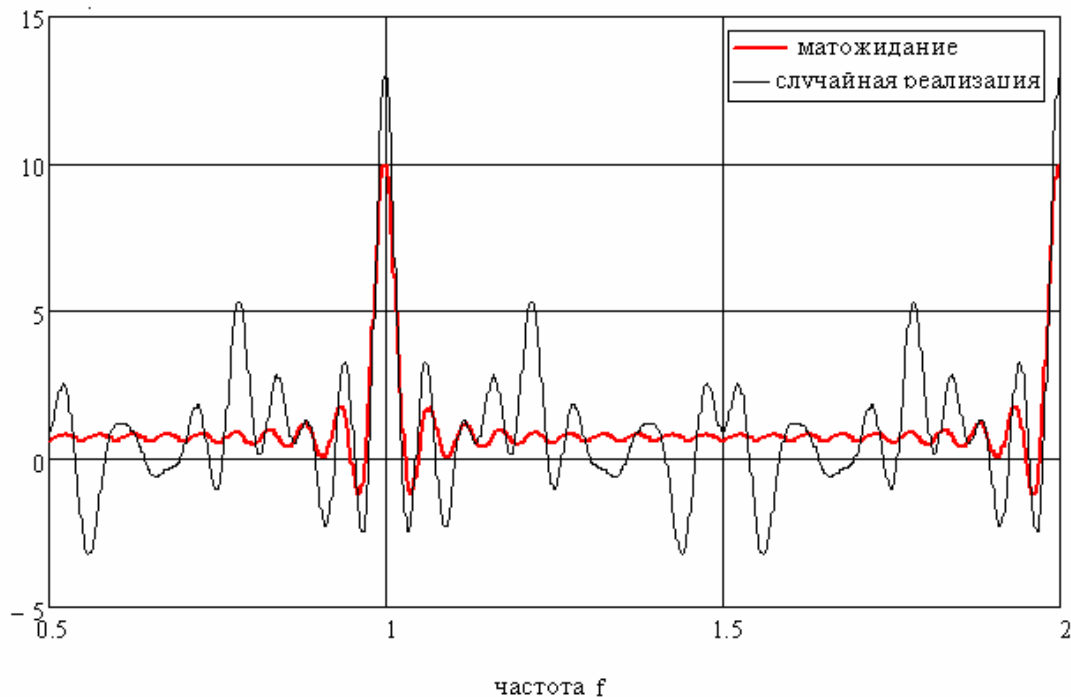


Рис. 1. Математическое ожидание косинус-преобразования и косинус-преобразование случайной реализации при $p=0.5$ и $N=20$. Период следования точек $T=1$

Таким образом, и в случае децимированного потока существует возможность обнаружения периодичности по наличию глобальных максимумов косинус-преобразования (7) в точках f_k .

Обнаружение потока

В отличие от общепринятых понятий обнаружения сигнала в рассматриваемом случае под правильным обнаружением потока понимается фиксация двух событий: 1) поток содержит больше z точек и 2) глобальные максимумы косинус-преобразования (7) находятся в точках $f_k = k/T, k = 1, 2, \dots$. Первое условие не требует пояснений. Выполнение второго требования связано с тем, что существуют такие комбинации точек децимированного потока, при которых глобальные максимумы функции (7) возникают не только на частотах f_k , но и на кратных частотах $f_d = 1/dT, 0 < f_d < 1/T$, где d — произведение наименьших общих делителей номеров точек, сохранившихся в потоке. В принципе не важно, на какой

именно частоте появился ложный глобальный максимум. Достаточно убедиться, что он есть ($d > 1$) или его нет ($d = 1$). При $d = 1$ частота следования точек оценивается по положению первого глобального максимума и равна $1/T$. Таким образом, будем считать, что:

- поток обнаружен правильно, если число точек r потока больше z и $d = 1$ (поток обнаружен и частота оценена верно);
- произошло ложное обнаружение, если $r > z$ и $d > 1$ (поток обнаружен, но частота оценена неверно);
- поток не обнаружен, если $r \leq z$.

Характеристики обнаружения

При расчете вероятностей обнаружения основная сложность состоит в определении вероятности того, что произведение общих делителей номеров сохранившихся точек, равно 1. Нам не удалось получить решение в общем виде. Поэтому вероятностные характеристики найдены с путем статистического моделирования. Оценки вероятностей получены по 10^4 реализациям, что гарантирует их высокую надежность. При моделировании параметры потока изменялись в следующих пределах: вероятность сохранения точки $p = 0.1, 0.2, \dots, 0.9$; размер потока $N = 10, 15, \dots, 50$. Порог обнаружения z принимался равным $z = 2, 3, 4$. Шаг квантования функции $co_p(f)$ меньше $1/N$. Ограничения на дискретизацию частоты f не накладывались.

После обработки статистических данных оказалось, что вероятность D правильного обнаружения хорошо аппроксимируется функцией (10) при коэффициенте детерминации не менее 0.9998.

$$D(p, N, z) = 1 - \sum_{k=0}^z C_N^k \cdot (1 - p \cdot X(N, z))^{z-k} \cdot (p \cdot X(N, z))^k \quad (10)$$

где $X(N, z) = a_z N^{b_z}$.

Значения коэффициентов функции X приведены в табл. 1

Таблица 1

z	a	b
2	1.0147	-0.0485
3	1.0241	-0.0247
4	1.0221	-0.0099

На рис. 2 приведен график зависимости вероятности правильного обнаружения D от вероятности p при $N = 30$, рассчитанной по формуле (10) и ее статистические оценки D^* при пороге обнаружения $z = 2$.

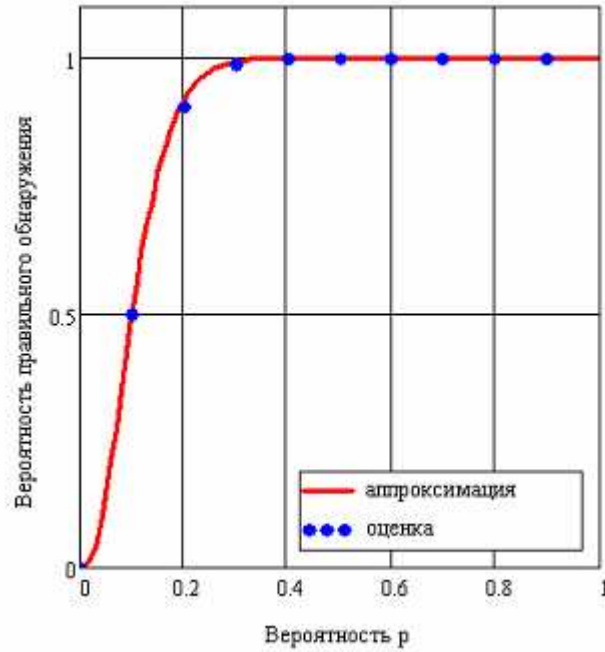


Рис. 2. Вероятность D правильного обнаружения потока в зависимости от вероятности p при $N=30$ и пороге $z=2$

Вероятность пропуска, очевидно, равна

$$\hat{D}(p, N, z) = \sum_{k=0}^z C_N^k p^k (1-p)^{N-k}, \quad (11)$$

а вероятность ложного обнаружения определяется из условия вероятности полной группы событий:

$$F(p, N, z) = 1 - D(p, N, z) - \hat{D}(p, N, z) \quad (12)$$

Вероятность ошибки $E(p, N, z)$ равна сумме вероятностей пропуска и ложного обнаружения или:

$$E(p, N, z) = 1 - D(p, N, z) \quad (13)$$

На рис. 3...6 приведены зависимости вероятностей (10)...(13) от p при разных значениях N .

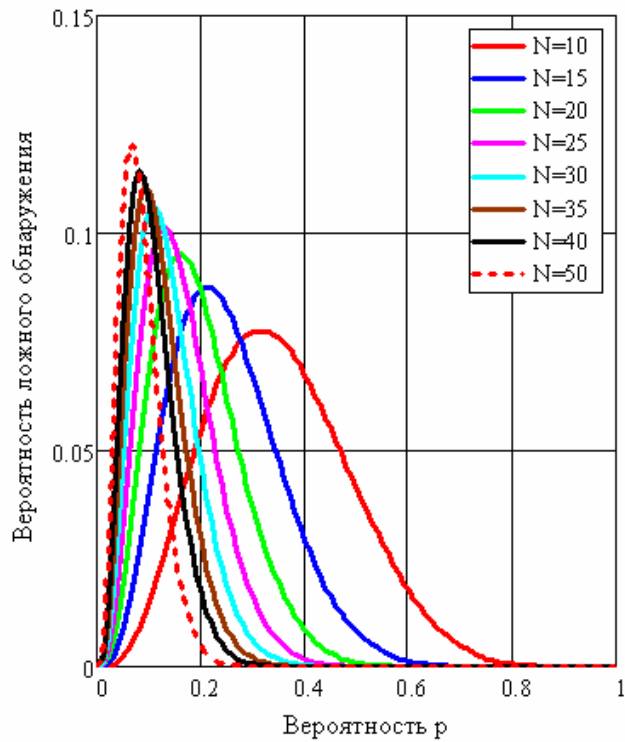


Рис. 3. Вероятность F ложного обнаружения потока в зависимости от вероятности p при разных размерах N и пороге $z=2$

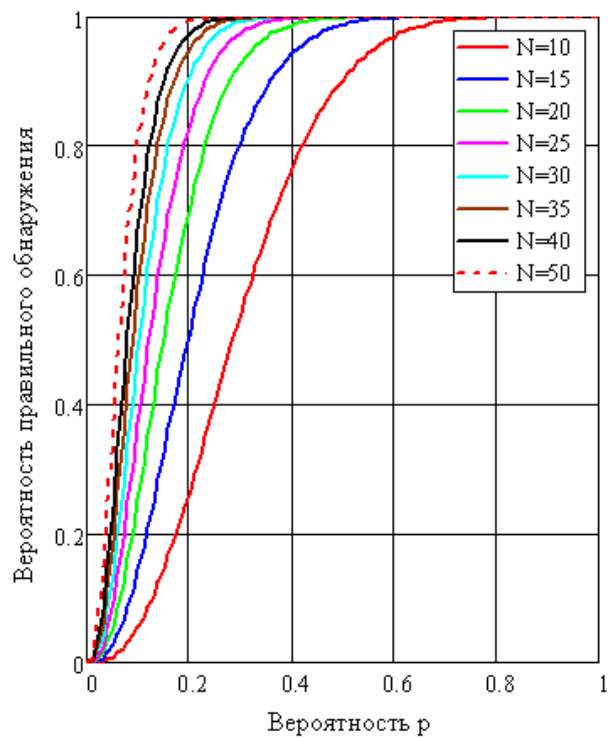


Рис. 4. Вероятность D правильного обнаружения потока в зависимости от вероятности p при разных размерах N и пороге $z=2$

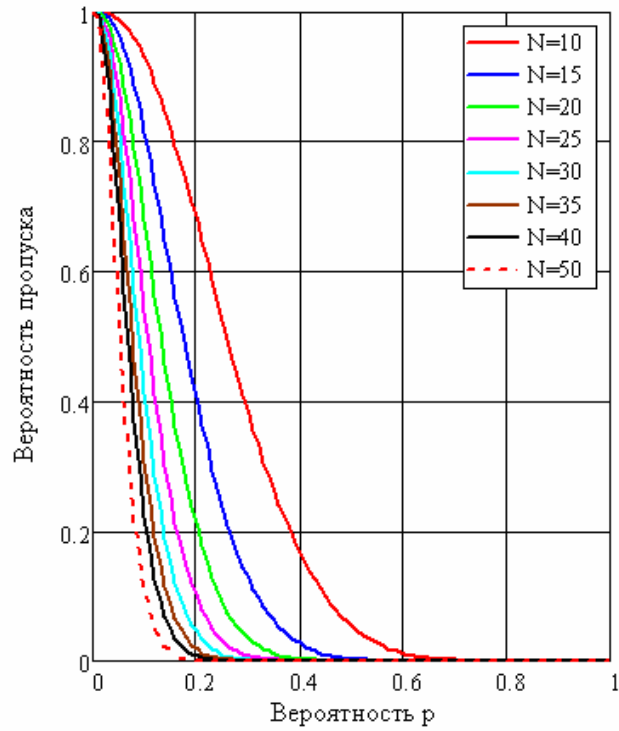


Рис. 5. Вероятность пропуска потока в зависимости от вероятности p при разных размерах N и пороге $z=2$

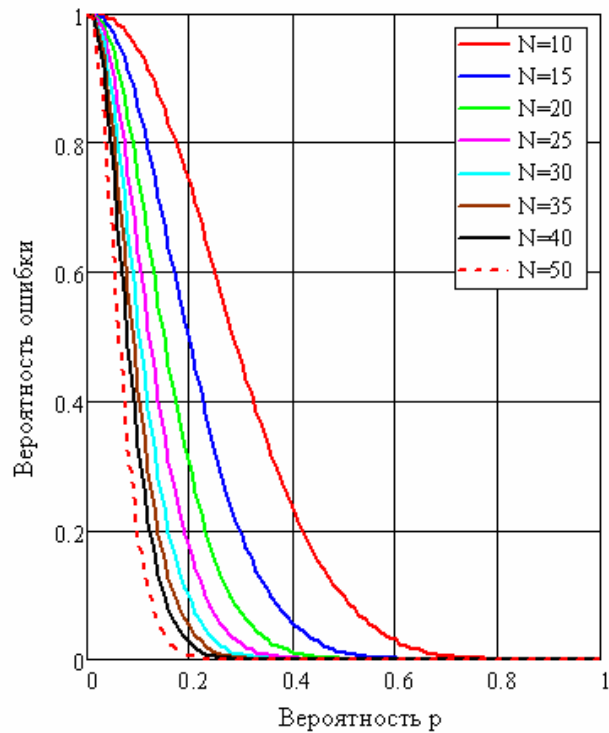


Рис. 6. Вероятность суммарной вероятности E ошибки обнаружения потока в зависимости от вероятности p при разных размерах N и пороге $z=2$

Рабочие характеристики по вероятностям правильного и ложного обнаружения можно найти из (10), (12), решая уравнения

$$D(p, N, z) = D_0, \quad F(p, N, z) = F_0 \quad (14)$$

относительно параметров потока p и N . Здесь D_0, F_0 - заданные значения

соответствующих вероятностей.

На основании численного решения уравнений (14) построены рабочие характеристики для значений порога обнаружения $z = 2, 3, 4$ при $D_0 = 0.95, 0.99, 0.999, 0.9999$ и при $F_0 = 10^{-3}, 10^{-4}, 10^{-5}, 10^{-6}$, графики которых при $z = 2$ приведены на рис. 7 и 8.

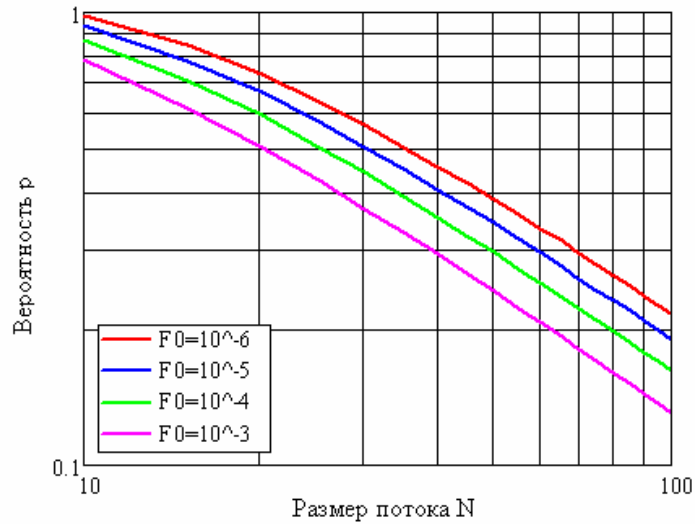


Рис. 7. Зависимость вероятности p от размера N потока при заданных вероятностях F_0 ложного обнаружения и пороге $z=2$

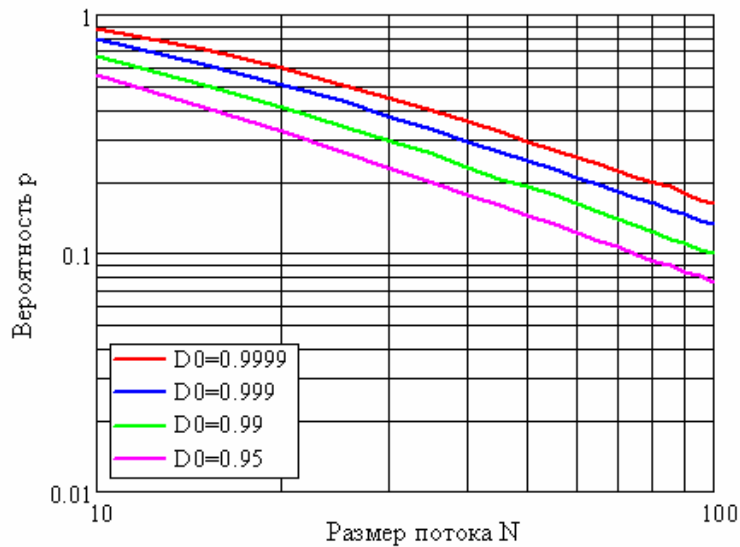


Рис. 8. Зависимость вероятности p от размера N потока при заданных вероятностях D_0 правильного обнаружения и пороге $z=2$

Из графиков следует, что с увеличением размера потока N требования по величине вероятности p существенно снижаются. Так при $N = 30$ и $p = 0.5$ вероятность правильного обнаружения больше 0.9999, а вероятность ложного обнаружения равна 10^{-5} . При $N = 60$ те же характеристики можно получить уже при вероятности $p = 0.2$.

Рабочие характеристики хорошо аппроксимируются функцией вида

$$p(N, z, R) = c_{z,R} N^{d_{z,R}} + e_{z,R} N^{g_{z,R}} \quad (15)$$

Значения коэффициентов c, d, e, g приведены в Приложении.

Оптимизация порога обнаружения

Постановка задачи обнаружения потока, рассматриваемая в настоящей работе, отличается от классической задачи обнаружения сигнала. Во-первых, в нашем случае под правильным обнаружением понимается выполнение двух условий одновременно: число точек потока больше z и период потока оценен верно. То есть, совмещены две процедуры – обнаружения и оценки. Во-вторых, предполагается, что поток присутствует всегда, то есть априорная вероятность «наличия цели» равна единице.

Тогда критерий идеального наблюдателя сводится к минимизации вероятности суммарной ошибки, равной

$$E(p, N, z) = \sum_{k=0}^z C_N^k \cdot (1 - p \cdot X(N, z))^{z-k} \cdot (p \cdot X(N, z))^k \quad (16)$$

Вероятность E является неубывающей функцией порога z . Следовательно, вероятность ошибки будет минимальна при наименьшем значении порога, при котором в принципе возможно получение однозначной оценки периода следования точек. Таким значением является $z = 2$.

Вероятность E зависит и от параметров потока N и p , которые априори неизвестны. Полагая, что вероятность p равномерно распределена на интервале $(0,1]$, а размер потока так же равномерно распределен на интервале $[N_0, N_1]$, можно найти средние значения вероятностей ошибки при разных z . Численные расчеты дают следующие значения средних вероятностей суммарной ошибки при $N_0 = 10$:

Таблица 2

N_1	Порог z		
	2	3	4
50	0.140	0.170	0.202
100	0.095	0.114	0.134

Наименьшее значение средней вероятности ошибки оказываются при минимально допустимом пороге. Таким образом, оптимальным порогом обнаружения можно считать $z_0 = 2$.

Оценка параметров потока

Оценки размера потока и вероятности децимации

При идентификации источника, порождающего поток, в качестве дополнительной информации полезно использовать оценки параметров потока. Так, если известно примерное число \tilde{N} импульсов в пачке радиолокационного сигнала и обнаруженным импульсам пачки соответствуют точки потока, то после обнаружения потока можно найти оценку N^* его размера. Если окажется, что $N^* \cong \tilde{N}$, то это может служить дополнительным подтверждением правильности принятого решения об

обнаружении цели.

Обозначим моменты появления первой и последней точки соответственно t_n и t_k . Между этими крайними точками имеется n позиций. Очевидно $n = \text{floor}\left(\frac{t_k - t_n}{T^*}\right) - 1$, где $\text{floor}(x)$ - ближайшее меньшее целое x , T^* - оценка периода.

На n позициях может оказаться k точек. Поток можно обнаружить, если общее число точек $k + 2$ больше порога z . Откуда следует, что $k = z - 1 \dots n$.

Допустим, что наблюдатель имеет возможность регистрировать только две величины – $r = k + 2$ и n . На основании этих данных найдем максимально правдоподобные оценки вероятности p сохранения точки потока и размера N исходного потока.

Функция правдоподобия равна

$$L(N, p | n, k) = (N - n - 1) \frac{n!}{k!(n - k)!} p^{k+2} (1 - p)^{N - k - 2} \quad (17)$$

Полагая N непрерывной величиной, можно показать, что функция (17) почти при всех допустимых значениях n и k имеет единственный максимум, в точке которого производные по p и N равны нулю. Исключение составляет случай, когда $k = n, n = 0, 1, 2 \dots$. При этом функция правдоподобия достигает максимума в точке $(p = 1, N = n + 2)$, координаты которой являются максимально правдоподобными оценками для рассматриваемого частного случая.

При $z - 1 \leq k < n$ для нахождения оценок параметров p и N применимы стандартные процедуры метода максимального правдоподобия.

Найдем логарифм функции правдоподобия

$$l(N, p | n, k) = \ln(N - n - 1) + (k + 2) \ln(p) + (N - k - 2) \ln(1 - p)$$

и вычислим его частные производные по p и N :

$$\frac{\partial l(N, p | n, k)}{\partial p} = \frac{k + 2}{p} - \frac{N - k - 2}{1 - p}$$

$$\frac{\partial l(N, p | n, k)}{\partial N} = \ln(1 - p) + \frac{1}{N - n - 1}$$

Приравняв производные нулю, получаем систему уравнений:

$$p^* = \frac{k + 2}{N^*} \quad (18)$$

$$N^* = n + 1 - \frac{1}{\ln(1 - p^*)} \quad (19)$$

К сожалению, система уравнений (18), (19) не имеет решения в замкнутой форме. Для приближенного решения представим $\ln(1 - p)$ первыми членами ряда [2, 1.512]

$$\ln(x) = \sum_{i=1}^{\infty} (-1)^{i+1} \frac{(x-1)^i}{i}, \quad [0 < x \leq 2] \quad (20)$$

Используя приближение первым членом ряда (20), получаем уравнение:

$$N^* = n + 1 + \frac{N^*}{k + 2},$$

корень которого равен:

$$N_1^* = \frac{(k + 2)(n + 1)}{k + 1} \quad (21)$$

При приближении двумя членами ряда (20) получаем

$$N^* = n + 1 + \frac{2N^{*2}}{(k + 2)(2N^* + k + 2)}$$

$$N_2^* = \frac{(k + 2) \left(2n - k + \sqrt{k^2 + 4kn + 8k + 4n^2 + 8n + 8} \right)}{4(k + 1)} \quad (22)$$

При аппроксимации тремя членами ряда формула для оценки размера потока слишком громоздка и не дает заметного выигрыша по точности.

Строго говоря, для оценки N^* не существует точного решения, поскольку N - целочисленная величина, а выражения (18, 19) и связанные с ними получены в предположении ее непрерывности. Поэтому оценки N_1^* и N_2^* приходится округлять. Приведем расчетные формулы для максимально правдоподобных оценок длины потока и вероятности сохранения точки в потоке:

$$N_1^* = \begin{cases} \text{round} \left(\frac{(k + 2)(n + 1)}{k + 1} \right), & n \geq z - 1, z - 1 \leq k < n \\ n + 2, & n \geq z - 1, k = n \end{cases}$$

$$N_2^* = \begin{cases} \text{round} \left[\frac{(k + 2) \left(2n - k + \sqrt{k^2 + 4kn + 8k + 4n^2 + 8n + 8} \right)}{4(k + 1)} \right], & n \geq z - 1, z - 1 \leq k < n \\ n + 2, & n \geq z - 1, k = n \end{cases}$$

$$p_1^* = \frac{k + 2}{N_1^*}, \quad p_2^* = \frac{k + 2}{N_2^*}.$$

Здесь $\text{round}(x)$ - функция округления числа x до ближайшего целого.

С помощью статистического имитационного моделирования найдены средние значения и дисперсии оценок N^* и p^* при следующих параметрах исходного потока: $p = 0.1, 0.2, \dots, 0.9$; $N = 10, 20, \dots, 50$. Порог обнаружения $z = 2$. Число реализаций 10^4 . На основании результатов моделирования можно утверждать, что оценки N^* и p^* смещенные и состоятельные по размеру N потока – с увеличением N смещение и дисперсия монотонно убывают и стремятся к нулю.

Зависимость вероятности p , при которой модуль относительной ошибки не превышает заданного значения $d_0\%$, хорошо аппроксимируется функцией (23) при коэффициенте детерминации больше 0.995.

$$p(d, N) = a(d) \ln(N) + b(d). \quad (23)$$

Значения коэффициентов приведены в табл. 3, а графики на рис. 9.

Таблица 3

Относительная ошибка %	Оценка вероятности p		Оценка размера N	
	a	b	a	b
5	-0.2706	1.3723	-0.2367	1.2117
10	-0.2392	1.1299	-0.1661	0.8115

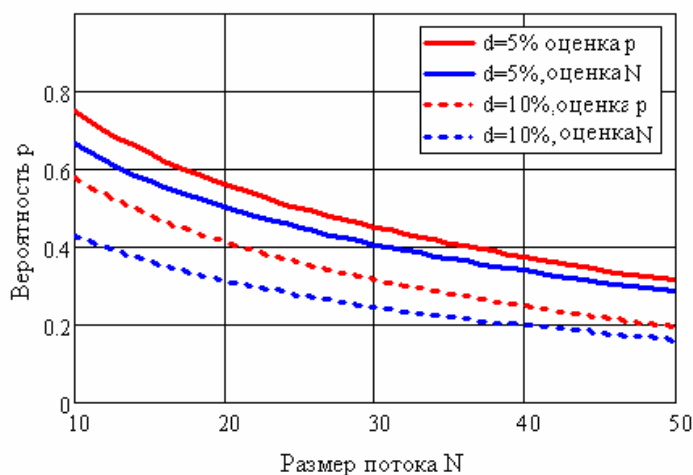


Рис. 9. Зависимость вероятности p от размера N потока при заданных относительных ошибках оценок вероятности p и размера N

Из графиков рис. 9 видно, что уже при сравнительно небольших размерах N потока можно получить достаточно точные оценки его параметров. Так при $N = 30$ и вероятности $p = 0.4$ относительные погрешности не превышают 5%.

Оценка координаты центра потока

Положим, что поток обнаружен, следовательно, известен его период T . Тогда координату центра достаточно выразить через номера точек, т. е. получить нормированную по T координату.

Отметим, что задача оценки координаты центра потока эквивалентна задаче оценки азимута цели по пачке двоично-квантованных сигналов при воздействии некоррелированной помехи. Известны эвристические и оптимальные алгоритмы оценки азимута [3].

Рассмотрим простейший алгоритм оценки по номерам первой i_H и последней i_K точек:

$$\alpha^* = \frac{i_K - i_H}{2}. \quad (24)$$

Характеристики оценки можно найти, используя распределение P_ν общего числа ν точек, потерянных в начале и конце потока, при условии, что в потоке сохранилось больше z точек:

$$P_v = \frac{(v+1)p^2q^v}{1 - [(N-1)p+1]q^{N-1}}.$$

Математическое ожидание оценки координаты центра α^* потока вычисляется по формуле

$$\overline{\alpha^*} = \sum_{v=0}^{N-2} \sum_{j=0}^v \left(j + \frac{N-1-v}{2} \right) P_v,$$

которая преобразуется к виду:

$$\overline{\alpha^*} = \frac{N-1}{2}$$

Откуда следует, что оценка координаты центра потока несмещенная.

Дисперсия оценки равна:

$$\text{Var}(\alpha^*) = \begin{cases} \frac{1}{24}(N^2 - N - 2), & p = 0 \\ \frac{p^2}{1 - q^{N-1}(q + pN)} \sum_{v=0}^{N-2} \sum_{j=0}^v \left(j - \frac{v}{2} \right)^2 q^v, & p > 0 \end{cases}$$

Можно показать, что дисперсия уменьшается с ростом N , следовательно, оценка (24) состоятельная по размеру потока.

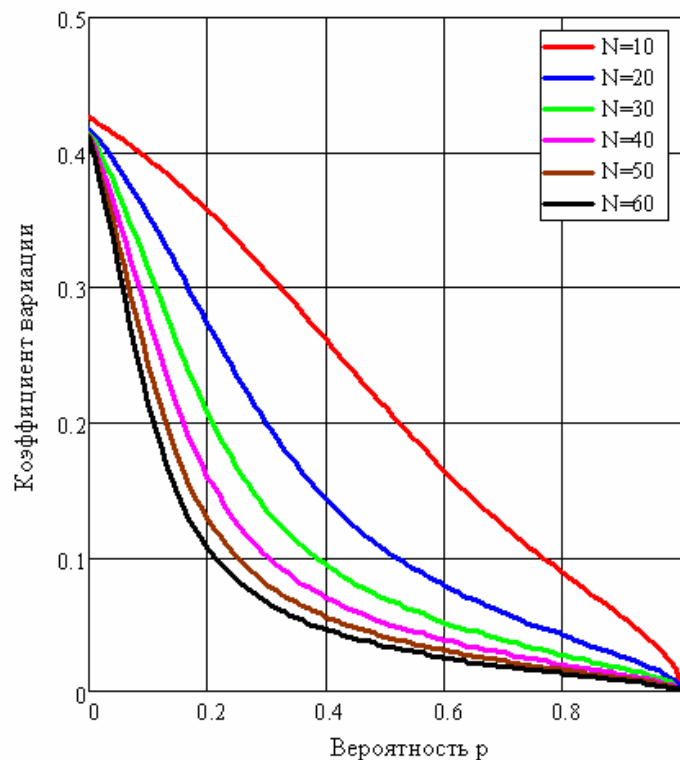


Рис. 10. Зависимость коэффициента вариации оценки координаты центра потока от вероятности p при различных размерах N

На рис. 10 приведены графики зависимости коэффициента вариации оценки α^* от вероятности p при различных значениях размера потока N .

Распределение координаты α_j центра можно найти с помощью расчетной формулы:

$$P(\alpha_j) = \frac{p^2}{1 - [(N-1)p+1]q^{N-1}} \sum_k q^{N-Y_{j,k}} \cdot if(Y_{j,k} = 0,0,1)$$

где $J = 2N - 3$, $j = 0 \dots J - 1$, $\alpha_j = 0.5(1 + j)$, $k = 0 \dots \text{floor}\left(\frac{N}{2}\right) - 1$,

$Y_{j,k} = if(j+k < 3k \cup j+k > J-k-1, 0, \text{mod}(j,2) + 2(k+1))$ - матрица количества точек, сохранившихся в потоке.

Распределение координаты центра потока симметричное, эксцесс положительный.

Заключение

Полученные результаты могут служить основой для построения алгоритма обнаружения пачки радиоимпульсов, поступающей на вход пассивного радиолокатора, а также оценки параметров – периода следования радиоимпульсов, длительности пачки, координаты ее центра. При этом предполагается, что вероятность ложного обнаружения одиночного сигнала пренебрежимо мала и отсутствует многолучевое распространение сигнала от источника излучения. Кроме того, принято, что погрешность оценки временного положения радиоимпульсов мала. Перечисленные ограничения достаточно строгие и редко выполняются на практике в полном объеме. Однако, на наш взгляд, развитие предложенного подхода может оказаться продуктивным для решения и более сложных задач.

Литература

1. Серебренников М. Г., Первозванский А. А. Выявление скрытых периодичностей. - М.: Наука, 1965. - 244 с.: ил.
2. Градштейн И. С., Рыжик И. М.: Таблицы интегралов, сумм, рядов и произведений. М.: Наука, 1971. - 1108 с.: ил.
3. Кузьмин С. З. Основы проектирования систем цифровой обработки радиолокационной информации. – М.: Радио и связь, 1986.- 352 с.: ил.

Приложение. Коэффициенты функции (15), аппроксимирующей рабочие характеристики обнаружения децимированного потока

Таблица П1

Порог обнаружения $z = 2$				
Вероятность D_0	c	d	e	g
0.95	7.12608	-0.97329	-8.51202	-1.63158
0.99	14.04819	-1.02771	-17.50963	-1.43442
0.999	19.44982	-1.02910	-27.58727	-1.42917
0.9999	54.78414	-1.09737	-65.26045	-1.27006
Вероятность F_0	c	d	e	g
0.001	14.80789	-0.99159	-22.64423	-1.49599
0.0001	443.51862	-1.16250	-453.31324	-1.18459
0.00001	923.70361	-1.15916	-937.07397	-1.17178
0.000001	1327.69522	-1.14839	-1344.02532	-1.15821

Таблица П2

Порог обнаружения $z = 3$				
Вероятность D_0	c	d	e	g
0.95	7.90419	-0.98229	-13.11693	-1.82490
0.99	11.51148	-1.00015	-20.00618	-1.67354
0.999	24.33768	-1.06213	-35.20249	-1.43689
0.9999	614.75939	-1.19346	-628.09420	-1.21266
Вероятность F_0	c	d	e	g
0.001	24.73151	-1.06081	-31.94967	-1.37412
0.0001	379.96994	-1.17930	-391.42719	-1.20766
0.00001	900.82214	-1.18103	-916.72380	-1.19546
0.000001	1517.70456	-1.16913	-1536.56843	-1.17855

Таблица П3

Порог обнаружения $z = 4$				
Вероятность D_0	c	d	e	g
0.95	7.90419	-0.98229	-13.11693	-1.82490
0.99	13.21021	-1.01376	-25.60585	-1.71160
0.999	22.30745	-1.05049	-38.23678	-1.53057
0.9999	805.86559	-1.21268	-822.75440	-1.22974
Вероятность F_0	c	d	e	g
0.001	9.76386	-0.93933	-39.61348	-1.95658
0.0001	13.42641	-0.95394	-46.00445	-1.82916
0.00001	612.19299	-1.19246	-630.49297	-1.21522
0.000001	1339.90551	-1.18148	-1360.64605	-1.19277